

KERNFORSCHUNGSZENTRUM  
KARLSRUHE

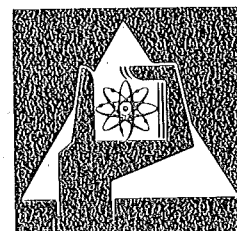
Januar 1976

KFK 2247

Institut für Angewandte Kernphysik

**Realistische Coulomb-Potentiale bei Coupled-Channel-Rechnungen für die Streuung von  $\alpha$ -Teilchen und  $^{16}\text{O}$ -Ionen an deformierten Kernen**

H. Rebel



GESELLSCHAFT  
FÜR  
KERNFORSCHUNG M.B.H.  
  
KARLSRUHE

Als Manuskript vervielfältigt  
Für diesen Bericht behalten wir uns alle Rechte vor

GESELLSCHAFT FÜR KERNFORSCHUNG M. B. H.  
KARLSRUHE

KERNFORSCHUNGSZENTRUM KARLSRUHE

KFK 2247

Institut für Angewandte Kernphysik

Realistische Coulomb-Potentiale bei  
Coupled-Channel-Rechnungen für die  
Streuung von  $\alpha$ -Teilchen und  $^{16}\text{O}$ -Ionen  
an deformierten Kernen.

H. Rebel

Gesellschaft für Kernforschung mbH., Karlsruhe



## Zusammenfassung:

Der Einfluß der üblichen Approximationen bei der Behandlung eines deformierten Coulomb-Potentials in DWBA- und Coupled-Channel-Analysen wurde an einigen Beispielen untersucht. Der der Berechnung realistischer Coulomb-Potentiale zugrunde liegende Formalismus und die entsprechenden Rechenprogramme wurden zusammengestellt. Die Resultate der Berechnungen der differentiellen Wirkungsquerschnitte für die Streuung von 50 MeV  $\alpha$ -Teilchen an  $^{238}\text{U}$  und 55 MeV  $^{16}\text{O}$ -Ionen an  $^{28}\text{Si}$  zeigen deutlich den Einfluß der Form des Coulomb-Potentials bei Energien, die nur relativ wenig über dem Coulomb-Wall liegen.

## Realistic Coulomb potentials for Coupled Channel calculations of $\alpha$ -particle- and $^{16}\text{O}$ -scattering

### Abstract:

The customary approximations in treating the Coulomb potentials in DWBA- and Coupled Channel calculations of nuclear scattering from deformed nuclei are studied. The formalism and numerical procedures for computing the potentials and Coulomb excitation form factors from realistic charge distributions of projectile and target nucleus are described. The calculated differential cross sections for the cases  $^{238}\text{U}(\alpha, \alpha')$ ,  $^{238}\text{U}$  and  $^{28}\text{Si}(^{16}\text{O}, ^{16}\text{O}')$ ,  $^{28}\text{Si}$  demonstrate the distinct influence of the shape of the Coulomb potential for bombarding energies not far away from the Coulomb barrier.

## 1. Einleitung

Die Coulombanregung spielt bei der inelastischen Streuung nuklearer Teilchen bei Energien, die nicht allzu hoch über der Coulombbarriere liegen, eine wichtige Rolle. Bei DWBA-oder "Coupled-Channel"-Rechnungen für die inelastische Streuung an deformierten Kernen muß ihr Einfluß durch ein deformiertes Coulomb-Potential

$$V_c(\vec{r}) = Z_t \cdot Z_p e^2 \int \frac{\rho_t(\vec{r}_t) \rho_p(\vec{r}_p)}{|\vec{r} + \vec{r}_p - \vec{r}_t|} d\vec{r}_t d\vec{r}_p$$

berücksichtigt werden.

Es ist üblich - und bei höheren Energien sowie bei kleinen  $Z_t \cdot Z_p$ -Werten auch berechtigt - hier einige vereinfachende Näherungen einzuführen.<sup>1,2</sup>

- a) Das Projektil wird als Punktladung behandelt
- b) Der Targetkern wird als homogene deformierte Verteilung mit scharfem Rand vorausgesetzt.

$$(1.1) \quad \rho_t(\vec{r}_t) = \rho_{ot} \theta(R_c(\hat{r}_t) - r_t)$$

$$\theta(r) = \begin{cases} 1 & r > 0 \\ 0 & r < 0 \end{cases}$$

Eine axialsymmetrische (permanente) Deformation wird z.B. durch

$$R_c(\hat{r}_t) = R_{co}(1 + \beta_2 Y_{20}(\hat{r}_t) + \beta_4 Y_{40}(\hat{r}_t) \dots)$$

parametrisiert und ferner die zentrale Dichte

$$\rho_{ot} \approx \frac{3}{4\pi R_{co}^3}$$

gesetzt.

Diese Vereinfachungen sind jedoch nicht unproblematisch in einem Energiebereich, der nur wenig die Coulombbarriere überschreitet, insbesondere im Gebiet, wo die Coulomb- und die nukleare Anregung deutlich und in empfindlicher Weise interferieren. Bei früheren Analysen der Streuung von 40 MeV  $^{16}\text{O}$ -Teilchen an  $^{28}\text{Si}$  zeigte sich eine große Empfindlichkeit der Resultate von der Wahl des

Coulombpotentials, ebenso bei Testrechnungen<sup>3</sup> für den Fall  $^{238}\text{U}(\alpha, \alpha')$  mit  $E_\alpha = 50$  MeV. Ferner fanden Kurepin et al.<sup>4</sup> bei der Analyse der Streuung von 12 MeV Protonen an  $^{148}\text{Sm}$  und  $^{154}\text{Sm}$  eine Abhängigkeit der gewonnenen Deformationsparameter von der Wahl der Ladungsverteilung des Targets, indem sie für die Verteilung  $\rho_t$  eine Fermiverteilung einführten und damit das deformierte Coulomb-Potential

$$(1.2) \quad V_c = Z_p Z_t e^2 \int \rho_t(r_t - R_c) / |\vec{r} - \vec{r}_t| \, d\vec{r}_t$$

erzeugten.

Der vorliegende Bericht steht im Zusammenhang mit etwas detaillierteren Untersuchungen<sup>\*)</sup> des Einflusses der Deformation des Coulomb-potentials für die Streuung von  $^{16}\text{O}$ -und  $\alpha$ -Teilchen an deformierten Kernen. Hierbei wird auch für die Ladungsverteilung des Projektils eine realistische Verteilung angesetzt. Der wesentliche Zweck des Berichtes ist die Darstellung des Verfahrens, das den numerischen Rechnungen zugrunde liegt, sowie die Ergänzung und Dokumentation der entsprechenden Subroutinen, die an den Coupled Channel Code ECIS<sup>5</sup> anschließen und im Grundgerüst z.T. schon 1973 von G.W. Schweimer codiert wurden. Während der Zusammenstellung der Resultate ist durch eine Veröffentlichung<sup>7</sup> bekannt geworden, daß R.S. Mackintosh die inelastische Streuung von  $\alpha$ -Teilchen an  $^{154}\text{Sm}$  unter ähnlichen Gesichtspunkten untersucht hat.

## 2. Das Coulomb-Potential zwischen zwei ausgedehnten Ladungsverteilungen

Für die Berechnung des Coulomb-Potentials  $V_c(\vec{r})$  zweier Ladungsverteilungen  $\rho_1(\vec{r}_1)$  und  $\rho_2(\vec{r}_2)$

$$V_c(\vec{r}) = \text{const.} \iint \frac{\rho_1(\vec{r}_1) \cdot \rho_2(\vec{r}_2)}{|\vec{r} + \vec{r}_2 - \vec{r}_1|} \, d\vec{r}_1 \, d\vec{r}_2$$

<sup>\*)</sup> Solche Untersuchungen wurden gemeinsam mit H.V. von Geramb (KFA Jülich) durchgeführt.

nehmen wir an, daß die Verteilung  $\rho_1$  ("Target") im körperfesten System axialsymmetrisch deformiert ist, was durch die Parametrisierung der Winkelabhängigkeit etwa des Radiusparameters

$$c_1(\hat{r}_1) = c_{10} \left[ 1 + \sum_{\lambda=2,4} B_\lambda Y_{\lambda 0}(\hat{r}_1) \right]$$

der Verteilung ausgedrückt wird.\* Als Normierung ist

$$\int \rho_i(\vec{r}_i) d\vec{r}_i = 1$$

angenommen. Die Verteilung  $\rho_2$  ("Projektile") wird als sphärisch vorausgesetzt.

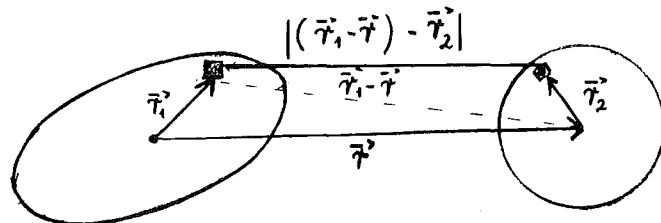


Abb. 1: Definition der Vektoren  $\vec{r}$ ,  $\vec{r}_1$ ,  $\vec{r}_2$

Für eine sphärische Fermi-Verteilung

$$\rho(\vec{r}) = \frac{\rho_0}{1 + \exp\left[\frac{r-c}{a}\right]}$$

läßt sich die Normierung explizit durch den Ausdruck

$$(2.1) \quad 4\pi \rho_0 \int_0^\infty \frac{r^2 dr}{1 + \exp\left[\frac{r-c}{a}\right]} = \rho_0 \left[ \frac{4\pi}{3} c^3 \right] \left[ 1 + \left( \frac{\pi a}{c} \right)^2 - 6 \left( \frac{a}{c} \right)^3 \sum_{n=1}^{\infty} \frac{(-e^{-4a})^n}{n^3} \right]$$

angeben.

Mit der Legendre-Entwicklung

$$\frac{1}{|(\vec{r}_1 - \vec{r}) - \vec{r}_2|} = \sum_{l=0}^{\infty} \frac{1}{r_>} \left( \frac{r_<}{r_>} \right)^l P_l(\cos \theta)$$

$$r_< = \min(|\vec{r}_1 - \vec{r}|, r_2)$$

$$r_> = \max(|\vec{r}_1 - \vec{r}|, r_2)$$

$$\theta = \chi((\vec{r}_1 - \vec{r}), \vec{r}_2)$$

---

\*) const =  $z_1 \cdot z_2 e^2 = 1.43986 [\text{MeV fm}] z_1 \cdot z_2$

wird die Funktion  $f(x)$  definiert

$$f(x) = \int d\vec{r}_2 \frac{\rho_2(\vec{r}_2)}{|(\vec{r}_1 - \vec{r}) - \vec{r}_2|} = 4\pi \int_0^\infty dr_2 r_2^2 \rho_2(r_2) \frac{1}{r} \left(\frac{r_<}{r}\right)^0,$$

da  $\rho_2(\vec{r}_2)$  nicht von  $\hat{r}_2$  abhängt.

$$x = |\vec{r} - \vec{r}_1| = \sqrt{r^2 + r_1^2 - 2rr_1 \cos(\hat{r}\hat{r}_1)}$$

Diese Funktion gibt (bis auf den Faktor  $Z_1 Z_2 e^2$ ) das Coulomb-Potential an, das die Verteilung  $\rho_2$  im Abstand  $x$  erzeugt. Dieses Potential lässt sich in zwei Teile aufspalten

$$(2.2) \quad f(x) = 4\pi \left\{ \frac{1}{x} \int_0^x \rho_2(r_2) r_2^2 dr_2 + \int_0^\infty \rho_2(r_2) r_2 dr_2 \right\}$$

oder

$$(2.3) \quad f(x) = \frac{1}{x} - 4\pi \left\{ \int_x^\infty \rho_2(r_2) (r_2 - r_2^2/x) dr_2 \right\}$$

Im Falle einer Fermi-Verteilung lässt sich das Integral

$$c_2 = \int_0^\infty dr_2 \frac{r_2}{1 + \exp(\frac{r_2 - c_2}{a_2})} = \frac{c_2^2}{2} \left[ 1 + \frac{1}{3} \left( \frac{\pi a_2}{c_2} \right)^2 - 2 \left( \frac{a_2}{c_2} \right)^2 \sum_{n=1}^\infty \frac{\left[ e^{-\frac{c_2/a_2}{n}} \right]^n}{n^2} \right]$$

explizit angeben und  $f(x)$  schreiben

$$(2.4) \quad f(x) = 4\pi \rho_{20} \left\{ c_2 + \int_0^x dr_2 \frac{(r_2^2/x - r_2)}{1 + \exp(\frac{r_2 - c_2}{a_2})} \right\}$$

Das Normierungsintegral (2.1) legt ferner  $\rho_{20}$  fest, so daß

$$4\pi \rho_{20} c_2 = \frac{3}{2} \frac{1}{c_2} \cdot \frac{1 + \frac{1}{3} \left( \frac{\pi a_2}{c_2} \right)^2 - \dots}{1 + \left( \frac{\pi a_2}{c_2} \right)^2 - \dots}$$

Wir vergleichen die Funktion  $f(x)$  mit dem Ergebnis für eine homogen geladene Kugel (Referenzkugel) vom Radius  $R_2$

$$(2.5) \quad h(x) = \begin{cases} 1/x & \text{für } x \geq R_2 \\ \frac{3}{2} \frac{1}{R_2} - \frac{x^2}{2R_2^3} & \text{für } x < R_2 \end{cases}$$

Abb. 2 demonstriert die Unterschiede des Potentials einer Fermi-Verteilung ( $c_2 = 3.0 \text{ fm}$  und  $a_2 = 0.5 \text{ fm}$ ) und den homogenen Verteilungen mit  $R_2 = c_2$  und  $R_2 = \sqrt{c_2^2 + 7/3 \pi^2 a_2^2}$ . Abb. 3 zeigt das Potential für eine realistische Ladungsverteilung des  $\alpha$ -Teilchens<sup>8</sup> und für die homogenen Kugeln mit  $R_2 = c_2(\alpha) = 0.964 \text{ fm}$  und  $R_2 = 1.5 \text{ fm}$ .

Es ist zweckmäßig die Abweichungen  $\Delta(x)$  und  $\delta(x)$  von einer homogenen Verteilung  $h(x)$  explizit einzuführen.

$$(2.6) \quad f(x) = \begin{cases} h(x) + \Delta(x) & \text{für } x > R_2 \\ h(x) + \frac{3}{2} \frac{1}{R_2} \delta(x) & \text{für } x \leq R_2 \end{cases}$$

Die Funktionen  $\Delta(x)$  und  $\delta(x)$  sind monotone und langsam veränderliche Größen, die sich gut interpolieren lassen. Dabei ist es für eine Interpolation aus programmtechnischen Gründen günstig, die Tabelle an äquidistanten der Größe

$$u^2 \quad \text{für } u^2 \leq 1$$

$$\text{bzw.} \quad (3-2/u) \quad \text{für } (3-2/u) > 1$$

$$\text{mit} \quad u = x/R_2$$

anzulegen.

Wie Abb. 2 und Abb. 3 andeuten, ist es ferner vorteilhaft als Radius der Referenzkugel  $R_2 > c_2$  (z.B. den Äquivalentradius) zu wählen,<sup>\*)</sup> um die Korrekturen zu minimalisieren. Die im Anhang angegebenen Tabellen für die Projektile  $^{16}\text{O}$  und  $\alpha$ -Teilchen sind berechnet mit modifizierten Fermi-Verteilungen der Parameter-Werte

<sup>\*)</sup> In einer kürzlich erschienenen Arbeit<sup>13</sup> wird gezeigt, daß auch für allgemeinere sphärische Verteilungen das Potential  $f(x)$  durch geeignete Wahl von  $R_2$  durch eine homogene Kugel außerordentlich gut approximiert werden kann.

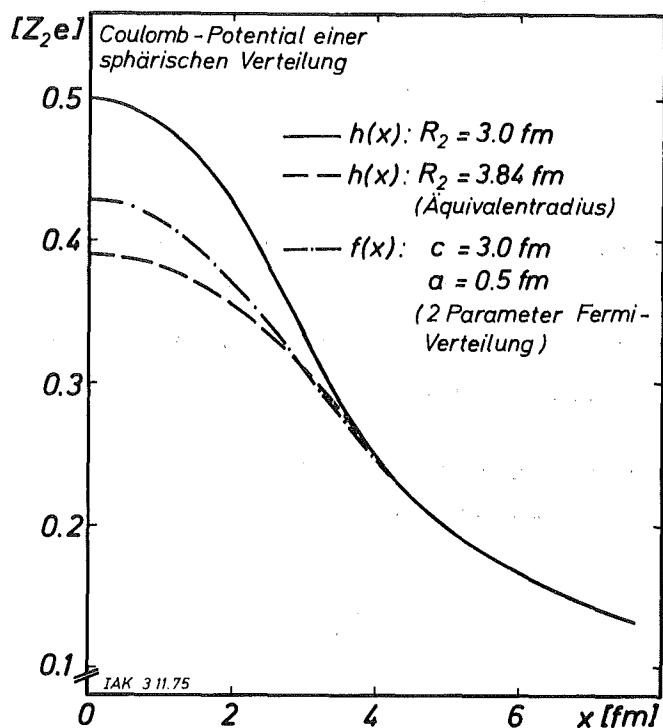


Abb. 2: Coulomb-Potential verschiedener Ladungsverteilungen des Projektils

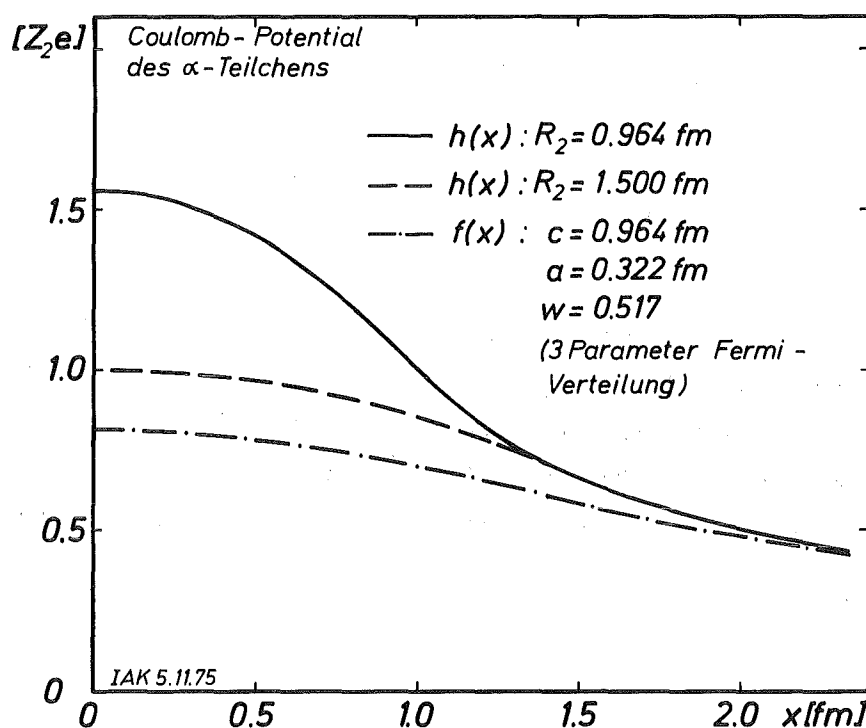


Abb. 3: Coulomb-Potential für eine realistische Ladungsverteilung des  $\alpha$ -Teilchens und für zwei verschiedene homogene sphärische Verteilungen

$$^{16}_0: \quad c_2 = 2,608 \text{ fm} \quad \alpha: \quad c_2 = 0,964 \text{ fm} \\ a_2 = 0,513 \text{ fm} \quad a_2 = 0,322 \text{ fm} \\ w = -0,051 \quad w = 0,517$$

und in den Korrekturen bezogen auf homogene Kugeln mit

$$R_2 = 3,0 \text{ fm} \quad \text{bzw.} \quad R_2 = 1,7 \text{ fm}$$

Für den Spezialfall der einfachen Zwei-Parameter-Fermiverteilung  $\rho_2(c_2, a_2)$  und  $R_2 = c_2$  lassen sich die Abweichungen in ihrer Abhängigkeit von

$$u = |\vec{r} - \vec{r}_1| / c_2 \quad \text{und} \quad z = a_2 / c_2$$

mit den Bezeichnungen

$$y = r_2 / c_2 \\ B = \left( \frac{\pi a_2}{c_2} \right)^2 - 6 \left( \frac{a_2}{c_2} \right)^2 \sum_{n=1}^{\infty} \frac{(-e^{-c_2/a_2})^n}{n^3} \\ C = -\frac{2}{3} \left( \frac{\pi a_2}{c_2} \right)^2 - 2 \left( \frac{a_2}{c_2} \right)^2 \sum_{n=1}^{\infty} \frac{(-e^{-c_2/a_2})^n}{n^2} + 6 \left( \frac{a_2}{c_2} \right)^3 \sum_{n=1}^{\infty} \frac{(-e^{-c_2/a_2})^n}{n^3}$$

durch folgende Formeln angeben

$$\Delta(u, z) = \frac{1}{u} \left[ \frac{3}{2 + B(z)} \int_u^{\infty} dy \frac{y^2 - y \cdot u}{1 + \exp(\frac{y-1}{z})} \right]$$

$$\delta(u, z) = \frac{C(z)}{1 + B(z)} + \frac{u^2}{3} + \frac{2}{1 + B} \int_0^u dy \frac{y^2 / u - y}{1 + \exp(\frac{y-1}{z})}$$

$$\delta(u, z) = \frac{C(z)}{1 + B(z)} + \frac{2}{3(1 + B)} \left\{ \frac{(1 + B)}{2} u^2 + 3 \int_0^u dy \frac{y^2 / u - y}{1 + \exp(\frac{y-1}{z})} \right\}$$

$$\delta(u, z) = \frac{C(z)}{1 + B(z)} + \frac{2}{3(1 + B(z))} \cdot \int_0^u y \left[ 1 + B + 3 \frac{y / u - 1}{1 + \exp(\frac{y-1}{z})} \right] dy$$

Das im Anhang wiedergegebene Hilfsprogramm zur Berechnung der Korrekturtabelle (die in der Subroutine COULHI angegeben werden muß) läßt allgemeinere Verteilungen (Function DENS) zu.

Nach diesen Vorbereitungen werden die Multipolterme des Coulomb-Potentials (in der Subroutine COULHI) nach Standard-Methoden berechnet.

Die Multipolentwicklung des Coulomb-Potentials ist gegeben durch

$$V_c(\vec{r}) = e^2 Z_1 Z_2 \int d\vec{r}_1 \rho_1(\vec{r}_1) \cdot f(|\vec{r}-\vec{r}_1|) = \sum_{\lambda, \mu} v_\lambda^c(r) \cdot Y_{\lambda \mu}(\hat{r})$$

Da  $f(|\vec{r}-\vec{r}_1|)$  nur vom  $\cos(\hat{r}_1 \cdot \hat{r})$  abhängt

ist

$$f(|\vec{r}-\vec{r}_1|) = 4\pi \sum_{\lambda} \frac{f_\lambda(r, r_1)}{2\lambda+1} \sum_{\mu=-\lambda}^{\lambda} Y_{\lambda \mu}^*(\hat{r}_1) \cdot Y_{\lambda \mu}(\hat{r})$$

Im körperfesten System ist

$$\rho_1(\vec{r}_1) = \sum_{\lambda=0}^{\infty} \rho_\lambda \sqrt{\frac{4\pi}{2\lambda+1}} Y_{\lambda 0}(\hat{r}_1)$$

mit  $\rho_0 = 1$

so daß sich nach der Winkelintegration

$$V_c(r) = e^2 Z_1 Z_2 \sum_{\lambda=0}^{\infty} \left( \frac{4\pi}{2\lambda+1} \right)^{3/2} Y_{\lambda 0}(\hat{r}) \cdot \int_0^\infty r_1^2 dr_1 \rho_\lambda(r_1) f_\lambda(r, r_1)$$

$$(2.7a) \quad v_\lambda^c(r) = e^2 Z_1 Z_2 \left( \frac{4\pi}{2\lambda+1} \right)^{3/2} \int_0^\infty dr_1 r_1^2 \rho_\lambda(r_1) f_\lambda(r_1, r)$$

$$(2.7b) \quad \rho_\lambda(r_1) = (2\lambda+1) \int_0^1 \rho_1(\vec{r}_1) \cdot P_\lambda(\cos \theta) d\cos \theta$$

$$(2.7c) \quad f_\lambda(r, r_1) = \frac{2\lambda+1}{2} \int_0^1 [f(r^2 + r_1^2 + 2rr_1 \cos \theta) + f(r^2 + r_1^2 - 2rr_1 \cos \theta)] \times P_\lambda(\cos \theta) d\cos \theta$$

Für  $r \gg R_1 + R_2$  geht

$$f_\lambda(r, r_1) \rightarrow r_1^\lambda / r^{\lambda+1}$$

so daß

$$v_\lambda^c \rightarrow \left[ e^2 Z_1 Z_2 \left( \frac{4\pi}{2\lambda+1} \right)^{3/2} \int_0^\infty dr_1 r_1^{\lambda+2} \rho_\lambda(r_1) \right] \frac{1}{r^{\lambda+1}} \equiv \frac{Q_\lambda}{r^{\lambda+1}}$$

wobei  $Q_\lambda$  das Multipolmoment der Verteilung  $\rho_1$  ist.

In Abb. 4a - d sind die Coulomb-Formfaktoren  $v_\lambda^c(r)$  ( $\lambda=0, 2, 4, 6$ ) Streuung von  $\alpha$ -Teilchen an  $^{238}\text{U}$  für realistische Verteilungen  $\rho_1(^{238}\text{U})$  und  $\rho_2(\alpha)$  mit den Formfaktoren der Approximation (1.1 und 1.2) verglichen. Als Parameterwerte für die Verteilung  $\rho_1$  wurden gewählt:

$$c_{10} = 6,805 \text{ fm} \quad (\text{Fermi-Verteilung})$$
$$a_1 = 0,605 \text{ fm}$$

oder

$$R_{co} = 1,2 \cdot A^{1/3} \text{ fm} \quad (\text{Äquivalenteradius für die Fermi-Vert.})$$
$$R_{co} = 1,2 \cdot A^{1/3} + 1,7 \text{ fm}$$

mit den Deformationsparametern

$$\beta_2 = 0,26$$
$$\beta_4 = 0,10$$

Die Unterschiede sind beträchtlich und weisen darauf hin, daß dort wo die Coulomb-Anregung wesentlich beiträgt, die Werte der Deformationsparameter davon beeinflußt werden sollten.

### 3. Streuung von $\alpha$ -Teilchen und $^{16}\text{O}$ an deformierten Kernen

Den folgenden Fallstudien des Einflusses eines realistischen Coulomb-potentials ist das optische Modell für die nukleare Wechselwirkung zugrundegelegt. Die optischen Potentiale, die mehr oder weniger willkürlich gewählt sind, können bereits als eine Faltung über die Nukleonen-Verteilungen von Projektil und Target angesehen werden. Daher werden in der Regel für die Deformationsparameter  $\beta_\lambda$  des Wechselwirkungspotentials, grob der Blair'schen Regel folgend

$$\beta_\lambda^{\text{Pot.}} R_o = \beta_\lambda c_o ,$$

kleinere Werte für  $\beta_\lambda^{\text{Pot}}$  bei größeren Werten für  $R_{\text{Pot}}$  angenommen \*)

---

\*) Da Eingabe des Rechenprogramms den Radiusparameter  $r_o = R \cdot A_{\text{target}}^{-1/3}$  verlangt, ist ein entsprechend modifizierter Radiusparameter  $r'_o$  anzugeben, wenn z.B. im Falle der  $^{16}\text{O}$ -Streuung  
$$R = r_o (A_{\text{target}}^{1/3} + A_{\text{projekt}}^{1/3})$$
 sein soll.

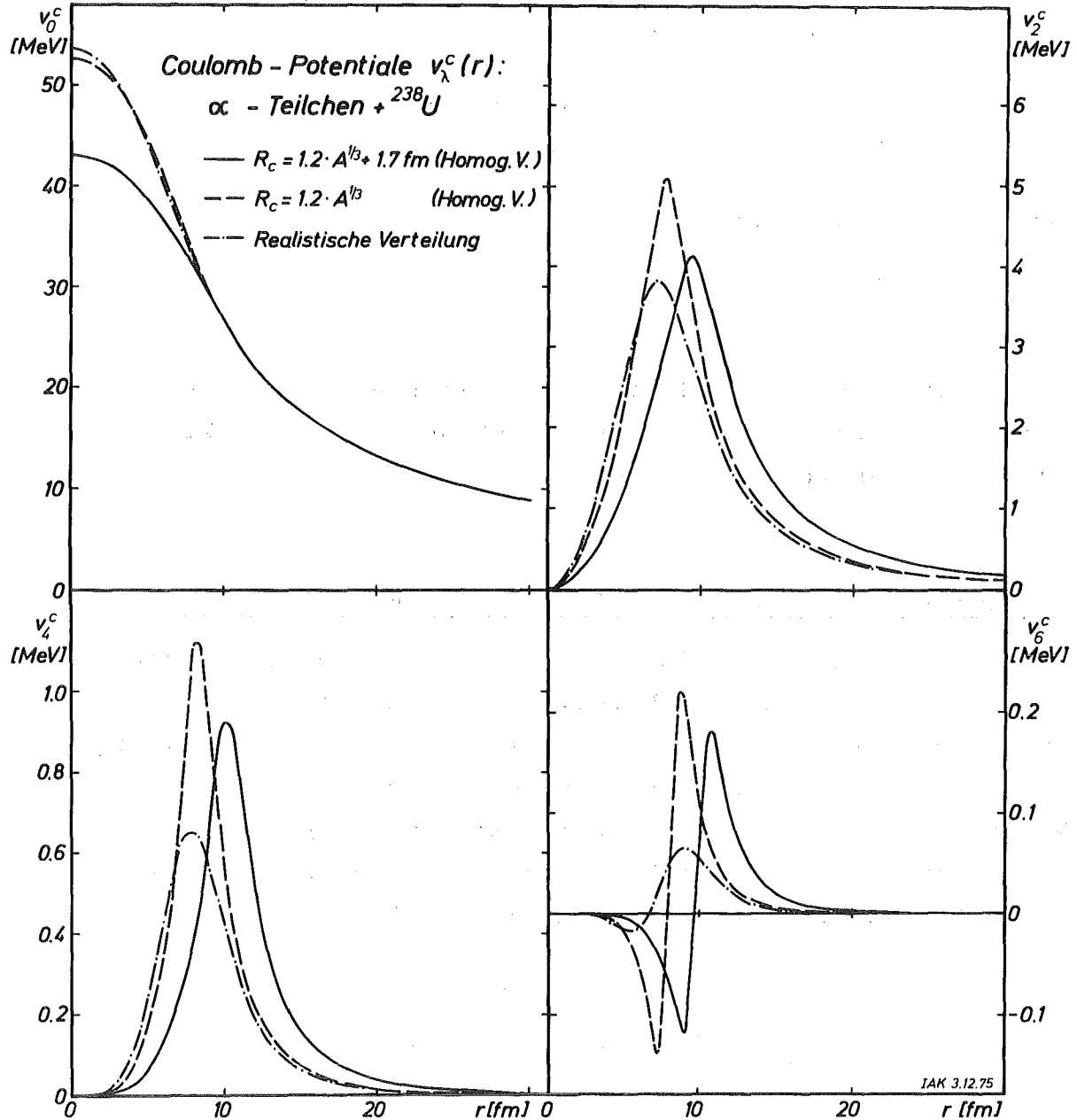


Abb. 4a-d. Coulomb-Formfaktoren für die Streuung von  $\alpha$ -Teilchen an  $^{238}U$ .

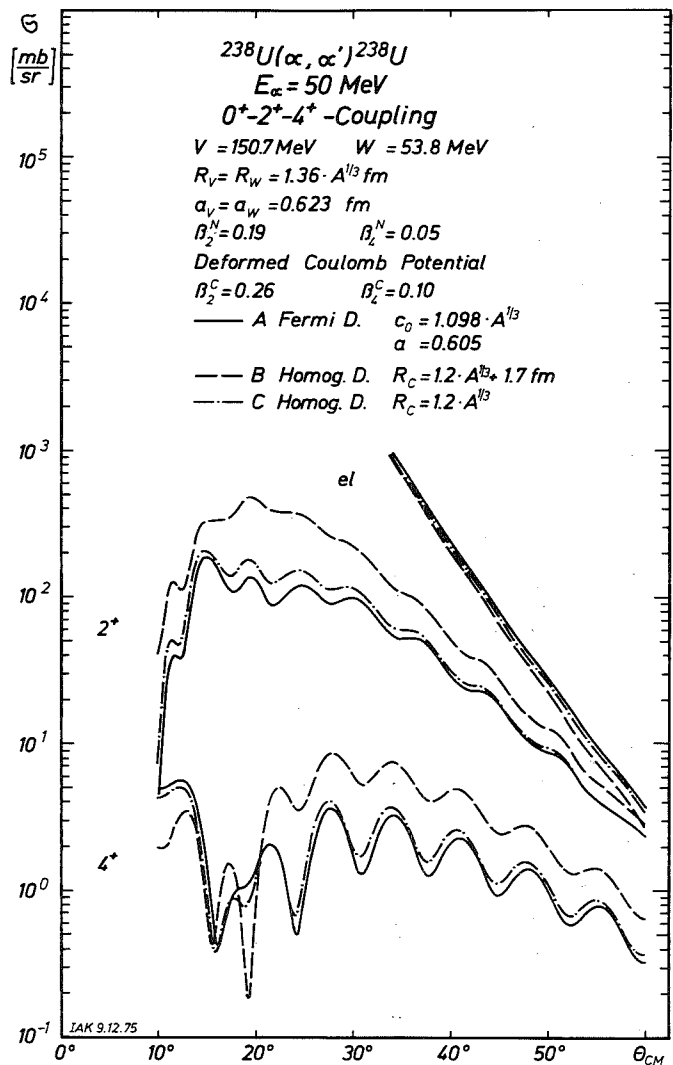


Abb. 5 Berechnete differentielle Wirkungsquerschnitte für die Streuung von 50 MeV  $\alpha$ -Teilchen an  $^{238}\text{U}$ : Vergleich zwischen realistischen und homogenen Ladungsverteilungen

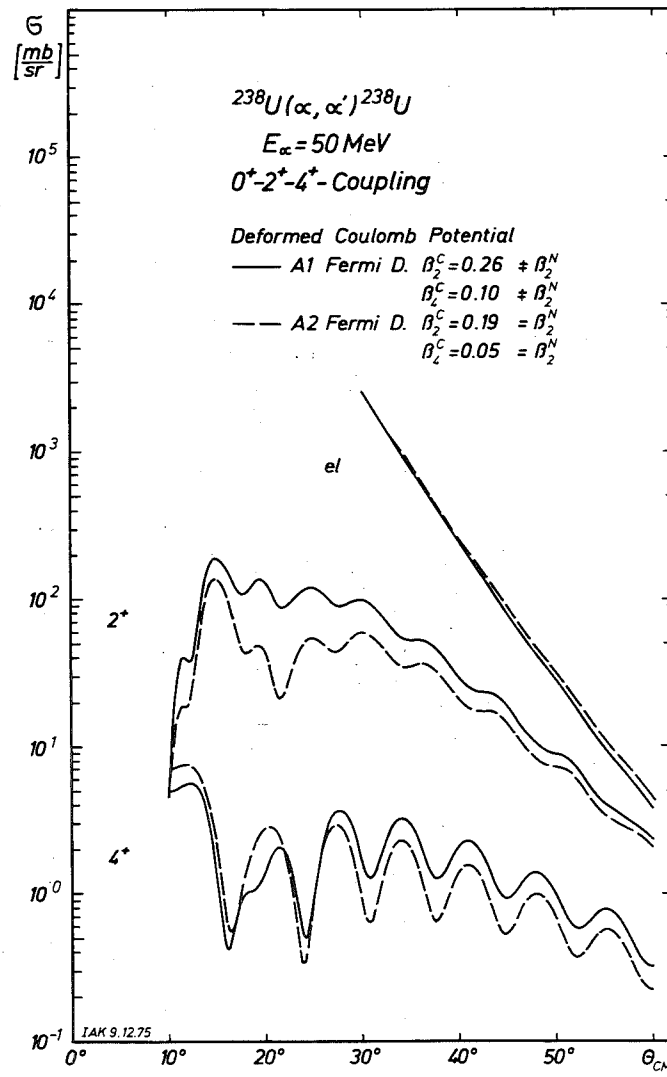


Abb. 6 Berechnete differentielle Wirkungsquerschnitte für die Streuung von 50 MeV  $\alpha$ -Teilchen an  $^{238}\text{U}$ : Einfluß der Deformation des Coulombpotentials.

Es wäre naheliegend, anstelle des üblichen makroskopisch deformierten optischen Potentials auch für das nukleare Wechselwirkungspotentials ein durch Faltung erzeugtes Potential zu verwenden<sup>9,10</sup>. Wir verzichten hier darauf, da nicht geklärt ist, ob ein einfaches Modell dieser Art bei Energien, die nur wenig über der Coulombbarriere liegen, ohne erhebliche Austauschkorrekturen nicht lediglich nur eine andere Parametrisierung darstellt, sondern auch in diesem Energiebereich wirklich einen Zugang zu den nuklearen Massenverteilungen ermöglicht.

Abb. 5 zeigt zunächst den Effekt verschiedener Formen des deformierten Coulomb-Potentials (Fermiverteilung - homogene Verteilung mit scharfem Rand verschiedener Radien). Abb. 6 demonstriert den Einfluß der Deformation des Coulomb-Potentials auf die berechneten differentiellen Wirkungsquerschnitte (Vergleich  $\beta_{\lambda}^{\text{Nucl}} + \beta_{\lambda}^c$  mit  $\beta_{\lambda}^{\text{Nucl}} = \beta_{\lambda}^c$ ). Die Rechnungen wurden mit dem Coupled-Channel-Code ECIS<sup>5</sup> vorgenommen, wobei die Subroutine POTENT (Symmetric Rotational Model) für den Fall eines realistischen Coulomb-Potentials (Subroutine COULHI) leicht modifiziert wurden (der Wert des Diffuseness-Parameters  $a_c$  wird als Statement vor dem Aufruf in der Subroutine COULHI eingespeist).

Abb. 7 zeigt die theoretischen Wirkungsquerschnitte, die mit den Parameterwerten des optischen Potentials berechnet wurden, das bei der Analyse der  $^{238}\text{U}(\alpha, \alpha')$ -Daten von Hendrie et al.<sup>11</sup> benutzt wurde.

Es wurden auch Studien für 100 MeV- $\alpha$ -Teilchen durchgeführt. Hier ist der Einfluß der unterschiedlichen Beschreibung des Coulomb-potentials kaum noch merkbar. Das Ergebnis ähnlicher Rechnungen für die Streuung von 50 MeV- $^{16}\text{O}$ -Ionen an  $^{28}\text{Si}$  ist in Abb. 8 gezeigt. Die Parameter der Ladungsverteilung von  $^{28}\text{Si}$  entstammen Resultaten der Elektronenstreuung. Eine L-Abhängigkeit des Imaginärteils des optischen Potentials

$$W(r) \rightarrow W(r) / [1 + \exp\{(L-L_0)/\Delta L\}]$$

- eine derartige Dämpfung scheint bei der Streuung schwerer Ionen wichtig zu sein - wurde hierbei nicht berücksichtigt.

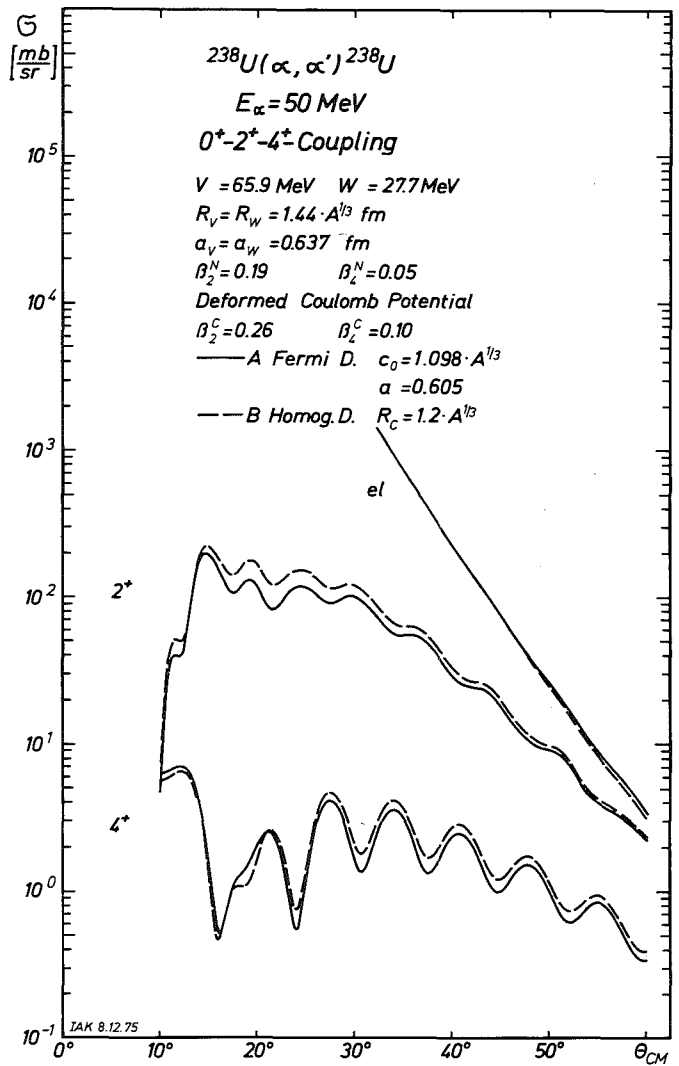


Abb. 7 Berechnete differentielle Wirkungsquerschnitte für die Streuung von 50 MeV  $\alpha$ -Teilchen: Optisches Potential nach Hendrie et al.<sup>11</sup>.

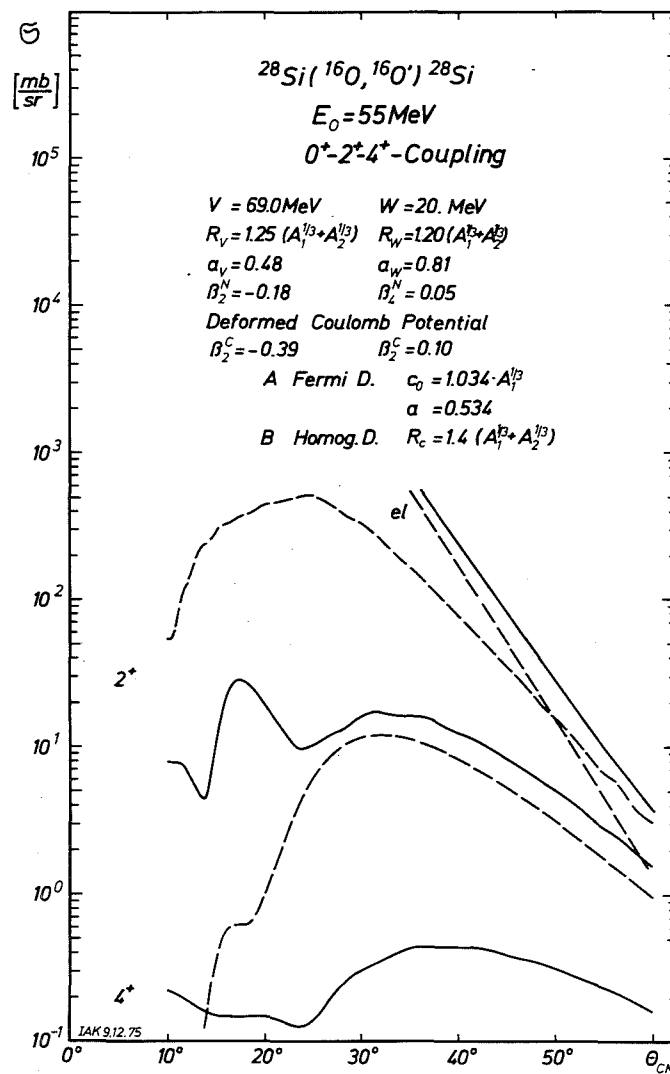


Abb. 8  $^{28}\text{Si}(^{16}\text{O}, ^{16}\text{O}')^{28}\text{Si}$  mit 55 MeV  $^{16}\text{O}$ -Ionen.

#### 4. Schlußbemerkungen

Die vorliegenden Ergebnisse führen zu folgenden Aussagen:

- a) Es bestehen deutlich Unterschiede zwischen den Multipol-Potentialen realistischer Ladungsverteilungen und der homogenen (deformierten) Ladungsverteilung. Die Unterschiede nehmen mit wachsender Multipolarität zu.
- b) Im Bereich von Projektil-Energien, die nur verhältnismäßig wenig über dem Coulomb-Wall liegen, treten Interferenz-Effekte zwischen nuklearer und elektromagnetischer Anregung auf, die empfindlich von der Form des Coulomb-Potentials abhängen. Diese Interferenzeffekte (insbesondere auch in ihrer Abhängigkeit von der Geschoß-Energie) können die Quelle interessanter Information sein, falls die Analyse korrekt durchgeführt wird.
- c) Sowohl für die Streuung an deformierten Kernen der Seltenen Erden<sup>14</sup> wie auch der Aktiniden<sup>11,15</sup>, liegen experimentelle Daten vor, deren Analyse mit Hilfe realistischer Coulomb-Potentiale wiederholt werden sollte, um physikalische signifikante Werte für die Deformationsparameter  $\beta_\lambda$  zu gewinnen.

Für wichtige Hinweise und aufschlußreiche Diskussionen danke ich Herrn Dr. von Geramb. Wesentliche Vorarbeiten in der Erstellung der Rechenprogramme sind von Herrn Dr. G.W. Schweimer und Herrn Dipl. Phys. H.J. Gils geleistet worden, denen ich dafür sehr dankbar bin.

Referenzen

1. N.K. Glendenning, Proc. Int. School of Physics "Enrico Fermi", Course XL, 1967, ed. M. Jean (Academic Press, New York, 1969)
2. T. Tamura, Rev. Mod. Phys. 37 (1965) 679
3. H. Rebel, unveröffentliche Ergebnisse
4. A.B. Kurepin, H. Schultz and H.J. Wiebecke, Nucl. Phys. A189 (1972) 257
5. G.W. Schweimer u. J. Raynal, unveröffentlichter Bericht (1973)
6. G.W. Schweimer, unveröffentlichtes Computer-Programm (1973)
7. R.S. Mackintosh, Nucl. Phys. A245 (1975) 255
8. C.W. Jäger, H. de Vries and C. de Vries, in Atomic Data and Nuclear Data Tables, Academic Press (1974)
9. H. Rebel, Lectures given at the Int. Summer School of Nucl. Physics Predeal, Romania, Sept. 1974, KFK-Report 2065 (1974)
10. C.B. Dover and J.P. Vary, Proceedings of the Symposium on Classical and Quantum Mechanical Aspects of Heavy Ion Collisions, Heidelberg, Germany, Okt. 1974
11. D.L. Hendrie et al. Phys. Rev. L. 30 (1973) 571
12. R.A. Chatwin, J.S. Heck, A. Richter, D. Robson, in Nuclear Reactions Induced by Heavy Ions, ed. by R. Bock and W.R. Hering, North Holland Publ. Comp., Amsterdam (1970) S. 76
13. A.K. Jain, M.C. Gupta and C.S. Shastray, Phys. Rev. C12 (1975) 801
14. A.A. Aponick, Jr., C.M. Chesterfield, D.A. Bromley and N.K. Glendenning, Nucl. Phys. A159 (1970) 36
15. P. David, W. Soyez, H. Essen, H. v. Geramb, Annual Report 1974, Institut für Kernphysik, KFA Jülich, S. 303
16. H.V. von Geramb, Private Mitteilungen

## ANHANG

### Anhang A

1. Hilfsprogramm zur Berechnung der Korrektur-Tabelle:  
 $\Delta(x)$  und  $\delta(x)$ .
2. Tabellen:  $f(x)$  ( $D(1)$ ) und  $f(x) - h(x)$  (Korrektur) für  
 $^{16}_0\text{O}$ -Ionen und  $\alpha$ -Teilchen als Projektil

### Anhang B

Die SUBROUTINEN POTENT (Symmetric Rotational Model)  
COULHI  
SUM

#### Bemerkung:

Die numerische Zuverlässigkeit der Programme wurde getestet, in dem der Übergang von einer diffusen Ladungsverteilung ( $c_o = 1,2 \cdot A^{1/3}$  fm,  $a \rightarrow 0$ ) zu einer homogenen Ladungsverteilung ( $R_c = 1,2 \cdot A^{1/3}$  fm) überprüft wurde. Für die Verteilung des Projektils wurde dabei eine Gaußverteilung  $\rho_o \exp(-r_1^2/\alpha^2)$  gewählt, deren Breite sukzessive verkleinert wurde.

Ergebnisse mit gaußförmigen Ladungsverteilungen konnten mit unabhängigen Rechnungen verglichen werden, die von H.V.v. Geramb<sup>16</sup> (KFA Jülich) durchgeführt wurden.

C HILFSPROGRAMM ZUR BERECHNUNG EINER TABELLE  
C ABWEICHUNGEN DES COULOMB-POTENTIALS EINER  
C SPHAERISCHEN VERTEILUNG MIT DIFFUSEM RAND  
C VON DEM DER KUGEL MIT FESTEM RAND (R2)  
C  
C DIE ROUTINE RUFT DIE SUBROUTINE FX AUF  
C FX BERECHNET DAS COULOMB-POTENTIAL  
C DER VERTEILUNG DENS (SUBROUTINE) AM  
C ORT X (= ABSTAND VOM ZENTRUM DER VERTEILUNG)  
C  
C DIE TABELLE WIRD BERECHNET BEI  
C  
C X = SQRT(I/50.)\*R2 (I= 1 BIS 50)  
C X = 2.\*R2/(3.-I/50.) (I= 51 BIS 100)  
C  
C DIE LADUNGSVERTEILUNG IST AUF 1 NORMIERT  
C  
C PP(1) = ABSCHNEIDERADIUS  
C PP(2) = 1  
C PP(3) = C (RADUSPARAMETER)  
C PP(4) = A2  
C PP(5) = W  
C R2 = RADIUS DER REFERENZ-KUGEL  
C  
0001 IMPLICIT REAL\*8 (A-H,C-Z)  
0002 DIMENSION PP(5),D(100),C(100)  
0003 REAL\*4 PP4(5),R24,W(100)  
0004 CALL FREEFC(5,4,6,0,W,W)  
0005 READ(4) (PP4(I),I=1,5),R24  
0006 R2=R24  
0007 DO 100 I=1,5  
0008 100 PP(I)=PP4(I)  
0009 WRITE(6,6000)  
0010 6000 FORMAT('1',39X,'I',13X,'X',18X,'D(1)'//)  
0011 DO 200 I=1,51  
0012 II=I-1  
0013 X=R2\*DSQRT(II/50.00)  
0014 IF(II.EQ.0) X=R2/500.00  
0015 CALL FX(X,1,PP,D)  
0016 WRITE(6,6100) II,X,D(1)  
0017 6100 FORMAT(' ',30X,I10,5X,1PD15.7,5X,1PD15.7)  
0018 C(I)=D(1)-3.00/(2.00\*R2)+(X\*X)/(2.00\*R2\*R2)  
0019 200 C(I)=C(I)\*R2  
C  
0020 DO 300 I=51,100  
0021 X=2.00\*R2/(3.00-I/50.00)  
0022 CALL FX(X,1,PP,D)  
0023 WRITE(6,6100) I,X,D(1)  
0024 C(I)=D(1)-1.00/X  
0025 300 C(I)=C(I)\*R2  
0026 WRITE(6,6200)  
0027 6200 FORMAT(//49X,'STUETZPUNKT',8X,'KOFREKTUR'//)  
0028 WRITE(6,6300) (I,C(I),I=1,100)  
0029 6300 FORMAT(' ',50X,I10,5X,1PD15.7)  
0030 WRITE(7,7000) (C(I),I=1,100)  
0031 7000 FORMAT((5X,'\*',6(1PD10.3,',')))  
0032 STOP  
0033 END

0001 SUBROUTINE FX(H,ISM12,PP,D)  
C-----COULOMB POTENTIAL EINER KUGELSYMMETRISCHEN  
C LADUNGSVERTEILUNG IM ABSTAND X=I\*H, I=1,ISM12  
0002 IMPLICIT REAL\*8 (A-H,C-Z)  
0003 DIMENSION PP(1),S(25),D(500)  
0004 REAL\*8 PI/3.141592653589793D0/  
C-----NORMIERUNG  
0005 S(1)=0.D0  
0006 S(2)=PP(1)  
0007 S(5)=.000001  
0008 K=0  
0009 NF=0  
0010 1 CALL FORHAD (K,S)  
0011 GO TO (2,2,3,3),K  
0012 2 S(4)=S(2)\*S(3)\*DENSP(PP,S)  
0013 NF=NF+1  
0014 GO TO 1  
0015 3 IF(NF.LE.5) GO TO 2  
0016 RHO=PP(2)/(4.D0\*PI\*S(4))  
C-----RADIAL-INTEGRATION  
0017 R=0.D0  
0018 DO 10 I=1,ISM12  
0019 F2=F1\*D0  
0020 R=R+H  
0021 IF(R.GT.PP(1)) GO TO 10  
0022 S(1)=0.D0  
0023 S(2)=R  
0024 S(5)=.000001  
0025 K=0  
0026 NF=0  
0027 4 CALL FORHAD (K,S)  
0028 GO TO (5,5,6,6),K  
0029 5 S(4)=S(2)\*S(3)\*DENSP(PP,S)\*RHC  
0030 NF=NF+1  
0031 GO TO 4  
0032 6 IF (NF.LE.5) GO TO 5  
0033 F1=S(4)  
0034 S(1)=R  
0035 S(2)=PP(1)  
0036 S(5)=.000001  
0037 K=0  
0038 NF=0  
0039 7 CALL FORHAD (K,S)  
0040 GO TO (8,8,9,9),K  
0041 8 S(4)=S(3)\*DENSP(PP,S)\*RHO  
0042 NF=NF+1  
0043 GO TO 7  
0044 9 IF(NF.LE.5) GO TO 8  
0045 F2=S(4)  
0046 10 D(I)=4.D0\*PI\*(F1/R+F2)  
0047 RETURN  
0048 END

```
0001      FUNCTION DENSP(PP,S)
0002      C-----3-PARAMETER FERMIVERTEILUNG DES ALPHATEILCHENS
0003      IMPLICIT REAL*8 (A-H,C-Z)
0004      DIMENSION PP(1),S(1)
0005      DENSP=C.D0
0006      C=PP(3)
0007      A=PP(4)
0008      W=PP(5)
0009      R=S(2)
0010      IF (R.GT.PP(1)) RETURN
0011      DENSP=(1.D0+R*R*W/(C*C))/(1.D0+DEXP((R-C)/A))
0012      RETURN
0013      END
```

```
0001      FUNCTION DENS(KE,P,S)
0002      DENS=1.
0003      RETURN
0004      END
```

$R_{\text{Cut}}$	$c_2$	$a_2$	$w_2$	$R_2$		
5.	1.	0.964	0.322	0.517	1.7	
$\alpha$						
I	X	D(1)				
0	3.3555517E-03		€.14296960-01			
1	2.4041614C-01		€.C7495580-01			
2	3.3955977C-01		€.C0715680-01			
3	4.1641258C-01		7.53533740-01			
4	4.8063229D-01		7.87193560-01			
5	5.3758804C-01		7.80455590-01			
6	5.88E96680C-01		7.73738750-01			
7	6.36C1133C-01		1.67C47930-01			
8	6.795554C-01		7.6038803D-01			
9	7.2124843D-01		7.53763900-01			
10	7.6026240C-01		1.47180C7D-01			
11	7.5137014C-01		1.40441300-01			
12	8.32E2555C-01		7.34151710-01			
13	8.66E2213C-01		7.27715310-01			
14	8.95554E4C-01		7.21335800-01			
15	9.3112772D-01		1.1501662D-01			
16	9.6166458C-01		1.€8160900-01			
17	9.9126115C-01		7.02571450-01			
18	1.0159553D+00		6.56450810-01			
19	1.C415457C+0C		€.90401210-01			
20	1.C751737C+0C		€.84510820-01			
21	1.1017252D+C0		€.78522600-01			
22	1.1216517C+0C		€.7269665D-01			
23	1.1529553D+0C		€.66547890-01			
24	1.1777538D+0C		€.61277120-01			
25	1.202C87C+0C		€.55685320-01			
26	1.2258E66D+00		€.50172680-01			
27	1.2492385C+0C		€.44735950-01			
28	1.27121627C+0C		€.39386150-01			
29	1.29468C6D+0C		€.34112310-01			
30	1.3168125C+0C		€.28517890-01			
31	1.33258C4C+00		€.23802550-01			
32	1.3599951D+0C		€.18765860-01			
33	1.381CE6C+0C		€.13807250-01			
34	1.4C1E550C+0C		€.€8926090-01			
35	1.4223111D+0C		€.C4121640-01			
36	1.44249E9C+0C		€.59393100-01			
37	1.4€23943C+0C		€.54739610-01			
38	1.4820246C+0C		€.5C160230-01			
39	1.5C135E3D+0C		€.5€535950-01			
40	1.52C5252D+0C		€.81219900-01			
41	1.5354144C+0C		€.76856890-01			
42	1.55€C1747C+0C		€.72563900-01			
43	1.57€51410C+0C		€.68339830-01			
44	1.55474C3D+00		€.4183580-01			
45	1.61276C5D+0C		€.60C94010-01			
46	1.6305818D+00		€.56C65980-01			
47	1.64821C0C+0C		€.52110380-01			
48	1.6656519C+0C		€.48214040-01			
49	1.6829130C+0C		€.44379830-01			
50	1.69555E9C+0C		€.4C606620-01			
51	1.71717C6D+0C		€.36€37280-01			
52	1.7346S27C+0C		€.33015290-01			
53	1.7525761D+0C		€.2914047D-01			
54	1.77C8321C+0C		€.25212670-01			
55	1.7854725C+0C		€.21231760-01			
56	1.80€5C54D+0C		€.1719766D-01			
57	1.8275558D+0C		€.13110320-01			
58	1.8478248D+0C		€.C8965730-01			
59	1.8681306D+0C		€.C417707D-01			
60	1.88€88176D+00		€.C00530300-01			
61	1.9101111C+0C		€.56230500-01			
62	1.9318169D+0C		€.91877820-01			
63	1.9540217D+0C		€.€747246D-01			
64	1.9767429D+0C		€.83014650-01			
65	1.9955567D+0C		€.7850469D-01			
66	2.0238C62D+0C		€.47354292D-01			
67	2.0411514D+0C		€.469329710-01			
68	2.C131653D+0C		€.464665510-01			
69	2.C5€7440D+00		€.55555055D-01			
70	2.1245€86D+0C		€.35185900-01			
71	2.1510513D+00		€.50371860-01			
72	2.1754857D+0C		€.45509670-01			
73	2.20179C7D+0C		€.440594023D-01			
74	2.23€846D+0C		€.35€40470-01			
75	2.26€6651D+00		€.30€35400-01			
76	2.2912558D+0C		€.25585C7D-01			
77	2.32€7656C+0C		€.2048557D-01			
78	2.3611055D+0C		€.153351060-01			
79	2.3943€46D+0C		€.10169340-01			
80	2.4215658D+0C		€.C4545850-01			
81	2.4637665D+0C		€.55681710-01			
82	2.4955953D+00		€.94378050-01			
83	2.53131117D+0C		€.85C36C6D-01			
84	2.5751558D+0C		€.836565970-01			
85	2.6153829D+0C		€.708242050-01			
86	2.€562462D+0C		€.72792610-01			
87	2.69€41C9D+00		€.67309980-01			
88	2.7419336C+00		€.61795530-01			
89	2.78€6634C+0C		€.562505660-01			
90	2.8333314D+0C		€.50676790-01			
91	2.8813540D+0C		€.45075340-01			
92	2.9310325D+0C		€.39447770-01			
93	2.9824541D+0C		€.333795520-01			
94	3.0357122D+0C		€.28120C6D-01			
95	3.09€5C1CD+0C		€.2242283D-01			
96	3.14€14C0D+00		€.16705290-01			
97	3.2013450D+0C		€.10568865D-01			
98	3.2652266D+00		€.0521494D-01			
99	3.3333311D+0C		€.9943757D-01			
100	3.3959577D+00		€.9366016D-01			

STELZPUNKT	KORREKTUR
$\alpha$	
1	-1.15694100-01
2	-1.17258440-01
3	-1.18784260-01
4	-1.20313560-01
5	-1.21771840-01
6	-1.23226390-01
7	-1.24645010-01
8	-1.26019400-01
9	-1.27341220-01
10	-1.28602220-01
11	-1.29794730-01
12	-1.30910640-01
13	-1.31942930-01
14	-1.32884810-01
15	-1.33729960-01
16	-1.34472560-01
17	-1.35107280-01
18	-1.35629330-01
19	-1.36034410-01
20	-1.36318730-01
21	-1.36232390-01
22	-1.36512360-01
23	-1.36416460-01
24	-1.36109350-01
25	-1.35829490-01
26	-1.35335700-01
27	-1.34107180-01
28	-1.33943440-01
29	-1.33044280-01
30	-1.32C09800-01
31	-1.3C840310-01
32	-1.29536370-01
33	-1.28C96750-01
34	-1.26528370-01
35	-1.24826340-01
36	-1.22593900-01
37	-1.21032410-01
38	-1.18943350-01
39	-1.16728290-01
40	-1.14288880-01
41	-1.11926840-01
42	-1.09343950-01
43	-1.06442020-01
44	-1.03822930-01
45	-1.CC888570-01
46	-5.78408320-02
47	-5.46816620-02
48	-5.14129520-02
49	-5.8C367610-02
50	-5.45549C70-02
51	-5.13772440-02
52	-5.38746210-02
53	-5.C4618C90-02
54	-5.7129C700-02
55	-5.39C66C90-02
56	-5.C7E45720-02
57	-5.17130420-02
58	-5.47520390-02
59	-5.18795630-02
60	-5.9C596600-02
61	-5.64C8713D-02
62	-5.38C82660-02
63	-5.12973810-02
64	-5.88756470-02
65	-5.65425730-02
66	-5.42575650-02
67	-5.21400250-02
68	-5.CC691650-02
69	-5.8C845930-02
70	-5.1844530-02
71	-5.43683530-02
72	-5.26250860-02
73	-5.C9835140-02
74	-5.54123720-02
75	-5.179203050-02
76	-5.65056680-02
77	-5.51675310-02
78	-5.39036750-02
79	-5.271259E0-02
80	-5.15925120-02
81	-5.05415510-02
82	-5.55776920-03
83	-5.63914690-03
84	-5.78359290-03
85	-5.58894960-03
86	-5.25299750-03
87	-5.57346060-03
88	-5.54801250-03
89	-5.37428250-03
90	-5.64966300-03
91	-5.37231690-03
92	-5.93918560-03
93	-5.54799150-03
94	-5.19627720-03
95	-5.88155470-03
96	-5.60137490-03
97	-5.35330760-03
98	-5.13495830-03
99	-5.5476680-04
100	-5.78C67230-04

$R_{\text{Cut}}$	$c_2$	$a_2$	$v$	$R_2$
8.	1.	2.608	0.513	-0.051
$^{16}_0$				
I	X		D(1)	
0	5.9999967D+03		4.7708387D-01	
1	4.2426383D-01		4.732306D+01	
2	5.9999967D-01		4.6939166D+01	
3	7.3484652D-01		4.655694D+01	
4	8.4852767D-01		4.6176266D+01	
5	9.4858277D-01		4.5797308D+01	
6	1.0392299D+03		4.5420919D-01	
7	1.1224965D+03		4.5046693D+01	
8	1.1999993D+03		4.4671152D+01	
9	1.2727915D+03		4.4299572D+01	
10	1.361640D+03		4.3930023D+01	
11	1.4971239D+03		4.3562585D+01	
12	1.4636933D+03		4.3197345D+01	
13	1.5237053D+03		4.2836388D+01	
14	1.5874699D+03		4.2473805D+01	
15	1.6431668D+03		4.2115667D+01	
16	1.6970553D+03		4.1760092D+01	
17	1.7492846D+03		4.1407195D+01	
18	1.7999999D+03		4.1057903D+01	
19	1.8433232D+03		4.0709629D+01	
20	1.8973655D+03		4.0365163D+01	
21	1.9442211D+03		4.0023676D+01	
22	1.9899738D+03		3.9685258D+01	
23	2.0346979D+03		3.9349819D+01	
24	2.0794598D+03		3.9017726D+01	
25	2.1213192D+03		3.8688914D+01	
26	2.1633296D+03		3.8363451D+01	
27	2.2055395D+03		3.8041397D+01	
28	2.2499320D+03		3.7722810D+01	
29	2.2847307D+03		3.7407744D+01	
30	2.3237887D+03		3.7096248D+01	
31	2.3522011D+03		3.6788365D+01	
32	2.3999987D+03		3.6464137D+01	
33	2.4372102D+03		3.6183597D+01	
34	2.4738623D+03		3.5889615D+01	
35	2.5099787D+03		3.5593704D+01	
36	2.5555833D+03		3.5304396D+01	
37	2.5876961D+03		3.5018871D+01	
38	2.6153379D+03		3.4737141D+01	
39	2.6695268D+03		3.4459213D+01	
40	2.6832801D+03		3.4185089D+01	
41	2.7156143D+03		3.3914764D+01	
42	2.7495433D+03		3.3648245D+01	
43	2.7820843D+03		3.3385509D+01	
44	2.8142479D+03		3.3126548D+01	
45	2.8450483D+03		3.2871343D+01	
46	2.8774973D+03		3.2619874D+01	
47	2.9036063D+03		3.2372119D+01	
48	2.9393861D+03		3.2128947D+01	
49	2.9698468D+03		3.1887630D+01	
50	2.9999983D+03		3.1655779D+01	
51	3.0333013D+03		3.1414039D+01	
52	3.0612229D+03		3.1173843D+01	
53	3.0927818D+03		3.0930201D+01	
54	3.1299983D+03		3.0683129D+01	
55	3.1578933D+03		3.0432646D+01	
56	3.1914875D+03		3.0178777D+01	
57	3.2258047D+03		2.9921551D+01	
58	3.2518673D+03		2.9661001D+01	
59	3.2967015D+03		2.9397166D+01	
60	3.3333315D+03		2.9130088D+01	
61	3.3777845D+03		2.8859816D+01	
62	3.4090892D+03		2.8586402D+01	
63	3.4482733D+03		2.8309903D+01	
64	3.4833702D+03		2.8030379D+01	
65	3.5274098D+03		2.7747897D+01	
66	3.5714265D+03		2.7462526D+01	
67	3.6146558D+03		2.7174339D+01	
68	3.6585346D+03		2.6883414D+01	
69	3.7037015D+03		2.6589832D+01	
70	3.7499979D+03		2.6293773D+01	
71	3.7974662D+03		2.5995056D+01	
72	3.8461517D+03		2.5693931D+01	
73	3.8951017D+03		2.5399644D+01	
74	3.9473662D+03		2.5085084D+01	
75	3.9999979D+03		2.4777406D+01	
76	4.0540518D+03		2.4467697D+01	
77	4.1059868D+03		2.4156074D+01	
78	4.1656644D+03		2.3842623D+01	
79	4.2253498D+03		2.3527442D+01	
80	4.2857119D+03		2.3210627D+01	
81	4.3478237D+03		2.2892275D+01	
82	4.4117623D+03		2.2572481D+01	
83	4.4776095D+03		2.2251338D+01	
84	4.5454529D+03		2.1928940D+01	
85	4.6153821D+03		2.1605375D+01	
86	4.6874976D+03		2.1280731D+01	
87	4.7619021D+03		2.0955394D+01	
88	4.8387372D+03		2.0628545D+01	
89	4.9180301D+03		2.0301144D+01	
90	4.9999972D+03		1.9973026D+01	
91	5.087429D+03		1.9644203D+01	
92	5.1724159D+03		1.9314763D+01	
93	5.2631553D+03		1.8984770D+01	
94	5.3571399D+03		1.8654286D+01	
95	5.4545424D+03		1.8323367D+01	
96	5.5555525D+03		1.7992044D+01	
97	5.6613742D+03		1.7660427D+01	
98	5.7622275D+03		1.7328499D+01	
99	5.8823497D+03		1.6996322D+01	
100	5.9999967D+03		1.6663932D+01	

STUETZPUNKT KORREKTUR

$^{16}\text{O}$

1	-6.8747198D-02
2	-7.0310609D-02
3	-7.1825806D-02
4	-7.3293655D-02
5	-7.4712799D-02
6	-7.6081536D-02
7	-7.7398917D-02
8	-7.8663269D-02
9	-7.9866196D-02
10	-8.1013573D-02
11	-8.2193450D-02
12	-8.3123162D-02
13	-8.4089374D-02
14	-8.4969059D-02
15	-8.5786548D-02
16	-8.6533694D-02
17	-8.7197930D-02
18	-8.7784845D-02
19	-8.8290612D-02
20	-8.87111796D-02
21	-8.9245879D-02
22	-8.9290378D-02
23	-8.9442907D-02
24	-8.9516399D-02
25	-8.9468881D-02
26	-8.9333209D-02
27	-8.9397199D-02
28	-8.8758724D-02
29	-8.8316323D-02
30	-8.7768302D-02
31	-8.7113192D-02
32	-8.6349659D-02
33	-8.5476506D-02
34	-8.4492678D-02
35	-8.3312162D-02
36	-8.2189478D-02
37	-8.0868703D-02
38	-7.9434442D-02
39	-7.8886343D-02
40	-7.6224199D-02
41	-7.4447898D-02
42	-7.2557515D-02
43	-7.0553211D-02
44	-6.8435276D-02
45	-6.6204129D-02
46	-6.3863258D-02
47	-6.1404312D-02
48	-5.8837002D-02
49	-5.6159139D-02
50	-5.3371620D-02
51	-4.075793430D-02
52	-4.4785223D-02
53	-4.02094476D-02
54	-3.9556641D-02
55	-3.07021124D-02
56	-3.4637193D-02
57	-3.2353979D-02
58	-3.0173471D-02
59	-2.8085521D-02
60	-2.6097837D-02
61	-2.4205988D-02
62	-2.2498405D-02
63	-2.0703384D-02
64	-1.9089386D-02
65	-1.7563354D-02
66	-1.6124689D-02
67	-1.4770277D-02
68	-1.3498021D-02
69	-1.2315493D-02
70	-1.1187243D-02
71	-1.0148747D-02
72	-9.1825049D-03
73	-8.2811114D-03
74	-7.4479099D-03
75	-6.6782429D-03
76	-5.9695059D-03
77	-5.3181893D-03
78	-4.7216935D-03
79	-4.1712580D-03
80	-3.6815666D-03
81	-3.2321268D-03
82	-2.8259495D-03
83	-2.4612202D-03
84	-2.1321771D-03
85	-1.8391202D-03
86	-1.5784206D-03
87	-1.3475289D-03
88	-1.1439826D-03
89	-9.6541394D-04
90	-8.955598D-04
91	-7.7424853D-04
92	-5.5744312D-04
93	-4.5720710D-04
94	-3.7172615D-04
95	-2.993710D-04
96	-2.3837778D-04
97	-1.8748722D-04
98	-1.4530454D-04
99	-1.061764D-04
100	-8.2331849D-05

```

C*****+
C SYMMETRIC ROTATIONAL NUCLEUS
C FORMFACTORS WITH THE COULOMB POTENTIAL OF TWO HEAVY IONS
C INPUT VARIABLES: VOP(1): DEPTH OF THE POTENTIALS V, H, ND, VSD AND VSO
C AUP(1): DIFFUSENESS OF THE POTENTIALS
C ROP(1): RADIUS OF THE POTENTIALS, ROP(6) FOR COULOMA
C HI: STEP SIZE ON THE RADIAL AXIS IN FM
C ISM: NUMBER OF STEPS
C ZIT: PRODUCT OF CHARGE NUMBERS OF THE TARGET AND PRO.
C BETA1,L1: NUCLEAR SHAPE PARAMETERS OF THE TARGET FOR
C L=2, ION ORDERED AS L = 2 4 6 ...
C ION: NUMBER OF SHAPE PARAMETERS PLUS 1; ION < 20
C NV: NUMBER OF REAL NON DIAGONAL FORMFACTORS
C MV: NUMBER OF IMAGINARY NON DIAGONAL FORMFACTORS
C IM: NUMBER OF DIFFERENT L VALUES
C ID1: DIMENSION OF THE WORKING FIELD P(ID1,1)
C ID3: DIMENSION OF VRE(ID3,1) AND VIM(ID3,1); ID3=ISM
C LOUT: SEE COMMENTS IN CALC, I=2,6 AND 9,10 AND 22
C OUTPUT VARIABLES: VCRE(I): REAL DIAGONAL FORMFACTOR FOR R=I*H
C VCHM(I): IMAGINARY DIAGONAL FORMFACTOR
C VSU1(I): REAL SPIN-ORBIT FORMFACTOR
C VSU2(I): IMAGINARY SPIN-ORBIT FORMFACTOR
C VRE(I,J): REAL NON DIAGONAL FORMFACTORS ORDERED AS
C J=1,IM: L = 2 4 6 ...
C J=IM+1,2*IM FIRST NON DIAGONAL SPIN-ORBITS
C J=2*IM+1,3*IM SECOND NON DIAGONAL SPIN-ORB.
C VIM(I,J): IMAGINARY NON DIAGONAL FORMFACTORS
C TABLES: XGN(I): INTEGRATION POINTS COS(THETA(I)) FOR THE
C GAUSS-LEGENDRE METHOD
C PGN(I): INTEGRATION WEIGHT AT THE POINT I
C NOTE: FOR THE EXACT DEFINITIONS SEE THE PROGRAM DESCRIPTION
C*****+
0002      SUBROUTINE POTENT(BETA,RHDZ,VCRE,VCIM,VSO1,VSO2,VRE,VIM,IVQ,ZIT,P,
1101,103,LU)
0003      COMMUN VOP(5),AUP(5),ROP(6),D1(4),IUN,D2(4),H,ISM,D3(6),MV,NV,IM
0004      DIMENSION VCRE(1),VCIM(1),VSO1(1),VSO2(1),VRE(1D3,1),VIM(1D3,1),
1IVQ(1),BETA(6,1)
0005      LOGICAL L1(L1)
0006      REAL# PP(2C),ZL,I,C,D,VRRR,VRR,I,VRR,R,P(I0,I),A(5),EP(5),E(5),
1P1/3.1415926535897500/
0007      REAL# XGN(I0)/4015973D98886AF,Z403A502C6D25177F,
1Z405FAB33C5594B0F/Z408cB2E09FBFF8,Z402A658B8640BF8,Z401E1FF3L5T3B4D,
2Z404B0F9A352A6F/Z406D605EAF/Z401B3739,Z40E9883209FFEC8C,
3240F6C6D03D3FB84F5,Z40F30AD038E701/
0008      REAL# PGN(I0)/4027LAD892146bDF,Z402630336A5B6322,
1Z40460D91694A69,Z402A658B8640BF8,Z401E1FF3L5T3B4D,
2Z401A1r17A1r17A420,Z401b519FE196E249,Z40100846TD7E474,
3Z3FA64D4F529DB5fA,3F4b25A009D3A2BA/
0009      I=HAXU(I0H,IM+IM)
0010      I=*I01*MAX0(I0,I0H,IM+1)
0011      IF(I0I,231) WH1TF(6,1006) I
0013      DO 4 I=1,5
0014      A(I)=DOP(I)/AUP(I)
0015      E(I)=DEXP(-A(I))
0016      2 EP(I)=DEXP(DBLE(H/AUP(I)))
0017      DO 4 J=1,6
0018      DO 3 I=2,IM
0019      3 P(6+J,I)=BETA(J,I)*DSQRT(DFLOAT(2*I+1)/(4.00*PI))
0020      4 C0NINUc
0021      D=0.0D
0022      DO 10 I=1,10
0023      PP(1)=1.0D
0024      PP(2)=XGN(1)
0025      DO 5 J=2,IM
0026      C=1.0D/DFLOAT(J)
0027      5 PP(J+1)=(2.00-C)*PP(2)*PP(J)+(C-1.0D)*PP(J-1)
0028      C=PGN(1)
0029      DO 8 J=1,5
0030      R=-.0D
0031      DO 6 K=2,IM
0032      6 R=R+P(6+J,K)*PP(K+1)
0033      P(1,I)=DEXP(-R*A(J))
0034      8 C0NINUc
0035      P(3,1)=C
0036      DO 9 IT=1,IM
0037      K=IVQ(IT)+1
0038      9 P(IT+1,I)=PP(K)*C+DSQRT(DFLOAT(2*K-1)*(4.00*PI))
0039      10 C0NINUc
0040      ZL=1.43986*ZIT
0041      IQ=IM+1
0042      R=0.0D
0043      DO 35 IS=1,ISM
0044      R=R+H
0045      DO 13 I=1,IQ1
0046      DO 12 J=7,I2
0047      12 P(J,I)=0.0D
0048      13 C0NINUc
0049      DO 2d I=1,10
0050      P(1,I)=P(1,I)*EP(1)
0051      VRRR=-VOP(1)/(1.00+P(1,I))
0052      DU 14 J=1,IQ1
0053      14 P(7,J)=P(7,J)+VRRR*P(J+12,I)
0054      IF (I0I,4) GO TO 16
0055      P(2,I)=P(2,I)*EP(2)
0056      P(3,I)=P(3,I)*EP(3)
0057      VRRR=-VOP(2)/(1.+P(2,I))-4.*VOP(3)*P(3,I)/(1.+P(3,I))*2
0058      DO 45 J=1,IQ1
0059      45 P(6,J)=P(6,J)+VRRR*P(J+12,I)
0060      15 P(8,J)=P(8,J)+VRRR*P(J+12,I)
0061      16 IF (I0I,3) GO TO 19
0063      P(+,1)=P(+,1)*EP(+)
0064      VRR=1.-D0/(1.00+P(+,1))
0065      VRRR=-.00*VOP(4)*VRR/(R*R)
0066      VRRR=-2.*D0*VOP(4)*VRR*(1.-D0-VRR)/(AOP(4)*R)
0067      DO 17 J=1,IQ1
0068      P(9,J)=P(9,J)+VRRR*P(J+12,I)
0069      17 P(10,J)=P(10,J)+VRRR*P(J+12,I)
0070      IF (I0I,5) GO TO 29
0072      P(5,I)=P(5,I)*EP(5)
0073      VRR=1.-D0/(1.00+P(5,I))
0074      VRRR=-2.*D0*VOP(5)*VRR/(R*R)
0075      VRRR=-2.*D0*VOP(5)*VRR*(1.-D0-VRR)/(AOP(5)*R)
    
```

```

0076      DO 18 J=1,IQ1          7 119
0077      P(11,J)=P(11,J)+VRK6*P(J+I2,I)    7 120
0078      18 P(I2,J)=P(I2,J)+VRK1*P(J+I2,I)    7 121
0079      19 CONTINUE
0080      28 CONTINUE          7 133
0081      VCRE(I1)=P(7,1)        7 134
0082      VCIM(I1)=P(8,1)        7 135
0083      IF (LO(9)) GO TO 29        7 136
0085      VS01(I1)=P(10,1)       7 137
0086      IF (LO(10)) GO TO 29        7 138
0088      VS02(I1)=P(12,1)       7 139
0089      29 CONTINUE
0090      31 DO 33 J=1,1M          7 145
0091      VRE(I1,J)=P(7,J+1)       7 146
0092      IF (LO(4)) GO TO 32        7 147
0094      VIM(I1,J)=P(8,J+1)       7 148
0095      32 IF (LO(3)) GU TO 33        7 149
0097      VRE(I1,J+1M)=P(10,J+1)      7 150
0098      VRE(I1,J+2*IM)=P(9,J+1)      7 151
0099      IF (LO(5)) GU TO 33        7 152
0101      VIM(I1,J+1M)=P(12,J+1)      7 153
0102      VIM(I1,J+2*IM)=P(1,J+1)      7 154
0103      33 CONTINUE          7 155
0104      IF (.NOT.LD(4)) GO TO 34        7 156
0106      E(2)=E(2)*EP(2)        7 157
0107      E(3)=E(3)*EP(3)        7 158
0108      VCIM(I1)=VOP(2)/(1.+E(2))-4.*VOP(3)*E(3)/((1.+E(3))*2) 7 159
0109      34 IF (LO(9).OR..NOT.LO(3)) GO TO 35        7 160
0111      E(4)=E(4)*EP(4)        7 161
0112      VS01(I1)=-2.*VOP(4)*E(4)/(AOP(4)*R*(1.+E(4))*2) 7 162
0113      IF (.NOT.LD(5)) GO TO 35        7 163
0115      E(5)=E(5)*EP(5)        7 164
0116      VS02(I1)=-2.*VOP(5)*E(5)/(AOP(5)*R*(1.+E(5))*2) 7 165
0117      35 CONTINUE          7 166
C   COULOMB POTENTIAL
C   AOP5 = A(CHARGE)
0118      AOP5=0.605
0119      CALL COULH(RUP(6),AOP5,BETA,IQM/2,ZZL,H,ISM,IM,P,PP)
0120      CALL SUM(ISH,IM,VCRE,VRE,P)
0121      IF (.NOT.LD(6)) GU TO 39        7 167
0123      MWRITE (6,1000) (I,VCRE(I),VCIM(I),I=1,ISM) 7 168
0124      IF (LO(9)) GO TO 36        7 169
0126      MWRITE (6,1001) (I,VS01(I),I=1,ISM) 7 170
0127      IF (LO(10)) GO TO 36        7 171
0129      MWRITE (6,1002) (I,VS02(I),I=1,ISM) 7 172
0130      MWRITE (6,1003) (I,VS02(I),I=1,ISM) 7 173
0131      DO 37 I=1,ISM          7 174
0132      MWRITE (6,1004) I,(J,VRE(I,J),J=1,NV) 7 175
0133      37 CONTINUE
0134      IF (LO(4)) GO TO 39        7 176
0136      MWRITE (6,1005)          7 177
0137      DO 38 I=1,ISM          7 178
0138      MWRITE (6,1004) I,(J,VIM(I,J),J=1,NV) 7 179
0139      38 CONTINUE          7 180
0140      39 RETURN          7 181
0141      1000 FORMAT(//,CENTRAL POTENTIAL*/(2*I15,1P2E23.6,' I')) 7 182
0142      1001 FORMAT('OREAL SPIN-ORBIT POTENTIAL*/(5X,6(I5,1PE15.6))) 7 183
0143      1002 FORMAT('IMAGINARY SPIN-ORBIT POTENTIAL*/(5X,6(I5,1PE15.6))) 7 184
0144      1003 FORMAT('OREAL MULTipoles') 7 185
0145      1004 FORMAT(I5,6(I5,1PE15.6)/ (5X,6(I5,1PE15.6))) 7 186
0146      1005 FORMAT('IMAGINARY MULTipoles') 7 187
0147      1006 FORMAT(1H+,50X,4HPLUS,I10) 7 188
0148      END          7 189
0149
0150
0151
0152
0153
0154
0155
0156
0157
0158
0159
0160
0161
0162
0163
0164
0165
0166
0167
0168
0169
0170
0171
0172
0173
0174
0175
0176
0177
0178
0179
0180
0181
0182
0183
0184
0185
0186
0187
0188
0189
0190

```

```

*****+
C COULOMB POTENTIAL BETWEEN TWO HEAVY IONS; ONE OF THEM IS DEFORMED
C THE OTHER ONE IS A ALPHA PARTICLE
C INPUT VARIABLES: R1: RADIUS OF THE TARGET IN FM
C                   A1: DIFFUSENESS OF THE TARGET
C                   BETA(6,L): BETA VALUE FOR LAMBDA = L, L = 2 TO 2*MB
C                   R2: RADIUS OF THE PROJECTILE
C                   H: RADIAL STEP SIZE IN FM
C                   ISMH: NUMBER OF RADIAL POINTS
C                   LMH: NUMBER OF MULTipoles
C                   ZIT: NORMALISATION OF THE POTENTIAL; V=ZIT/R
C OUTPUT VARIABLES: VC(I,I,L): COULOMB POTENTIAL AT R=I*H AND FOR
C                   LAMBDA = 2*(I-1), L = 1 TO LM+1, LM < 5
C WORKING FIELD: P(I): EXP(-A1*HETA)/A1 FOR THE TARGET
C TABLES: XGN(I): GAUSS-LEGENDRE POINTS
C          PGL(I,L): INTEGRATION WEIGHTS (2*LAMBDA + 1)*PGN(I)*PL
*****+
0002      SUBROUTINE CULUH1R1,A1,A2TA,MB,ZIT,H,ISM,LH,VC,P)
0003      LOGICAL*,LD(I1),LO1/.FALSE./
0004      REAL*4 BETA(6,1)
0005      REAL*4 UI1001/
0006      *-1.157L-01,-1.1730-01,-1.1660-01,-1.2030-01,-1.218D-01,-1.232D-01,
0007      *-1.246D-01,-1.260D-01,-1.273D-01,-1.286D-01,-1.298D-01,-1.309D-01,
0008      *-1.319D-01,-1.329D-01,-1.337D-01,-1.345D-01,-1.351D-01,-1.356D-01,
0009      *-1.360D-01,-1.363D-01,-1.363D-01,-1.365D-01,-1.364D-01,-1.362D-01,
0010      *-1.356D-01,-1.353D-01,-1.347D-01,-1.339D-01,-1.330D-01,-1.320D-01,
0011      *-1.36D-01,-1.295D-01,-1.281D-01,-1.265D-01,-1.248D-01,-1.230D-01,
0012      *-1.210D-01,-1.189D-01,-1.167D-01,-1.144D-01,-1.119D-01,-1.093D-01,
0013      *-1.066D-01,-1.038D-01,-1.009D-01,-9.784D-02,-9.468D-02,-9.141D-02,
0014      *-8.804D-02,-8.455D-02,-7.73D-02,-7.39D-02,-7.046D-02,-6.714D-02,
0015      *-6.391D-02,-6.076D-02,-5.771D-02,-5.475D-02,-5.188D-02,-4.910D-02,
0016      *-4.641D-02,-4.381D-02,-4.130D-02,-3.838D-02,-3.656D-02,-3.430D-02,
0017      *-3.214D-02,-3.007D-02,-2.808D-02,-2.618D-02,-2.437D-02,-2.284D-02,
0018      *-2.098D-02,-1.941D-02,-1.792D-02,-1.651D-02,-1.517D-02,-1.390D-02,
0019      *-1.71D-02,-1.159D-02,-1.054D-02,-9.558D-03,-8.639D-03,-7.784D-03,
0020      *-6.989D-03,-6.253D-03,-5.573D-03,-4.948D-03,-3.850D-03,
0021      *-3.372D-03,-2.939D-03,-2.546D-03,-2.196D-03,-1.882D-03,-1.601D-03,
0022      *-3.353D-03,-1.135D-03,-9.565D-04,-7.781D-04/
0023      REAL*8 A,B,C,F,P(I1),PHPP,EH,EX,R,HK2,FL,RHO,S,VC(ISH,1)
0024      REAL*8 XGN(I,10)/Z4013973DF9888AF,Z403A502G6025177F,
0025      Z405FAB33C559480F,Z4082C82E09FBFFB4,Z40A2D649FD3886D7,
0026      Z409BF0F989A352A6F,Z406D05EAEF7EB739,Z40E98320B9FEC6C,
0027      Z40F6C60D30EB84F5,Z40FE3DAD0638E701/
0028      REAL*8 P(I,3,14)52633589793D00,PGL(1,0,5)/
0029      *Z40271AD9921466D,Z402630336A58B322,Z402460691694A69,
0030      *Z40208588804DBF8,Z401E41F31573B48,Z401A1817A317A820,
0031      *Z4015519F196E249,Z4010084670F7E474,Z3FA64DAF529083FA,
0032      *Z3FA4825A0903A2BA,ZC060086A59E629F9,ZC050901U10F4E456,
0033      *ZC034D7012D42F2F2,ZC01244AE89EBF088,Z40102A291204F860,
0034      *Z4028L66B8414EA8,Z403B40F4B8628BD,Z403C067F50016451,
0035      *Z402E743283E1D61F,Z4016152FBB70F7F,Z407C407988766F80,
0036      *Z40620F42211660C,ZC0141013753F10,ZC05CCE093000E90F7,
0037      *ZC07405A1F2681050C,ZC05342F04046E5D,ZC0127L-E695348DC,
0038      *Z402905608968AC2D,Z403E7FC93D077336,Z4025D642D3D4078,
0039      *ZC68AAFK990E6655A,ZB084889732E3401,Z407AA3B2C57F4D7D,
0040      *Z408A707E747D6014,Z4010F3FA05C423TF,ZC05B82229139400C,
0041      *ZC0724FDBA8739007,ZC0226AE81A17568,Z403205E086FEDACF,
0042      *Z4032T283617F31CA,Z409AACD3258FF19,ZC043873F00F9C80F,
0043      *ZC0AE4ADC82C422LE,ZC0180959A8E99A,Z4092A6A08C14F9C,
0044      *Z405CF44CAE60B3,ZC04F264FF82D888D,ZC08C301093986669,
0045      *Z3FAD7ECD89FCB796,Z403ACE1D63A7D79/
C RADIUS OF REFERENCE SPHERE (REF. CORRECTION TABLE)
0046      R2=1.7
0047      1 ISMH=(R1+10.*A1)/H
0048      ISM2=(R2+R2)/H
0049      ISM12=ISM1+ISM2
C RADIUS OF THE TARGET IN DIRECTION I
0050      IF(ISM12.GT.ISM) ISM12=ISM
0051      LM1=L+1
0052      IF(LM1.GT.5) LM1=5
0053      HR2=R2*R2/(H*H)
0054      DO 3 I=1,10
0055      X=XGN(I)
0056      PM=1.D0
0057      PP=X
0058      R=PM
0059      DO 2 L=1,MB
0060      PM=((4*L-1)*X*PP-(L+L-1)*PM)/(L+L)
0061      PP=((4*L+1)*X*PM-(L+L)*PP)/(L+L+1)
0062      2 R=R+DSQRT((L+.25D0)/PI)*PM*PH*BETA(6,L+L)
0063      3 P(I)=EXP(-R*R1/A1)
0064      EH=EXP(H/A1)
0065      EX=EH*EH
0066      DO 1 L=1,LM1
0067      DO 4 IS1=1,ISM12
0068      4 VC(IS1,L)=0.D0
0069      DO 10 IS1=1,ISM1
0070      S=(1+MOD(IS1,2))*IS1*ISM1
0071      EX=EX*EH
0072      DO 9 L=1,LM1
0073      RHO=0.D0
0074      RHO=(LAMBDA,R)
0075      DO 5 I=1,10
0076      5 RHO=RHO+PGL(I,L)/(1.D0+P(I)*EX)
0077      RHO=5*D*RHO
C F(LAMBDA,R,R')
0078      DO 8 IS1=1,ISM12
0079      A=(IS1*IS1+IS12*IS12)/HR2
0080      B=(2*IS1/HR2)*IS12
0081      FL=0.D0
0082      DO 7 I=1,10
0083      C=A-B*XGN(I)
0084      IF(C.GT.1.D0) C=3.D0-2.D0/DSQRT(C)
0085      F=6.D0-C
0086      IF(C.GT.2.D0) GO TO 6
0087      X=50.D0*C
0088      J=X
0089      X=X-J
0090      F=F+2.D0*(D(J)+X*(D(J+1)-D(J)))
0091      6 C=A+B*XGN(I)
0092      IF(C.GT.1.D0) C=3.D0-2.D0/DSQRT(C)

```

```
0060      F=F-C
0061      IF(C.GT.2.0D0) GO TO 7
0063      X=50.0D0*C
0064      J=X
0065      X=X-J
0066      F=F+2.0D0*(D(J)+X*(D(J+1)-D(J)))
0067      7 FL=FL+F*PGL(1,L)
0068      8 VC(1SL2,L)=VC(1SL2,L)+RH0*FL
0069      9 CONTINUE
0070      10 CONTINUE
0071      C=DSORT(4.0D0*PI)
0072      B=Z17*C/(H*ISM12*VC(ISM12,1))
0073      DO 11 L=1,LM1
0074      A=DSORT(DFLOAT(4*L-3))
0075      A=B/(A*A*A)
0076      IF(L.EQ.1) A=A/C
0077      DO 11 ISL2=1,ISM12
0078      11 VC(1SL2,L)=A*VC(1SL2,L)
0079      IF(ISM12.GE.ISM) GO TO 13
0080      DO 12 IS=ISM12,ISM
0081      A=DFLOAT(ISM12)/DFLOAT(IS)
0082      B=A
0083      DO 12 L=1,LM1
0084      VC(1S,L)=B*VC(ISM12,L)
0085      12 B=B+A
0086      13 RETURN
0087      END
```

```
0002      SUBROUTINE SUM(ISM,IM,VCRE,VRE,P)
0003      REAL*4 VCRE(1),VRE(ISM,1)
0004      REAL*6 P(1)
0005      DO 21 IS=1,ISM
0006      VCRE(IS)=VCRE(IS)+P(IS)
0007      DO 20 JS=1,IM
0008      20 VRE(JS,IS)=VRE(JS,IS)+P(JS+J*ISM)
0009      21 CONTINUE
0010      RETURN
0011      END
```